

بررسی آزمایشگاهی و عددی اثر شکل پره بر بازدهی توربین پساپایی هانتر

محمد رضا نجعی^{۱*}، پوریا قربانیان فرد^۲، محسن کهرم^۳ و محمد باقر آیانی^۴^۱دانشجو کارشناسی ارشد مهندسی مکانیک تبدیل انرژی دانشگاه فردوسی مشهد، مشهد.^۲دانشجو کارشناسی ارشد مهندسی مکانیک تبدیل انرژی دانشگاه فردوسی مشهد، مشهد.^۳استاد دنشکده مهندسی دانشگاه فردوسی مشهد، مشهد.^۴استادیار دانشکده مهندسی دانشگاه فردوسی مشهد، مشهد.

تاریخ دریافت: ۱۳۹۴/۰۲/۲۷؛ تاریخ بازنگری: ۱۳۹۴/۰۵/۳۱؛ تاریخ پذیرش: ۱۳۹۴/۱۱/۲۰

چکیده

در مطالعه‌ی حاضر شکل پره‌ی نوع جدیدی از توربین بادی محور قائم به نام توربین هانتر که ساختار متفاوتی در مقایسه با سایر توربین‌های پساپایی دارد، بررسی و بهینه‌سازی شده است. هدف مطالعه حاضر، طراحی پره با بیشترین ضریب پسا به منظور افزایش ضریب توان توربین می‌باشد. در این مطالعه ^۴ پره تخت مربعی، دایروی، نیم‌دایروی و ترکیبی به منظور تعیین شکل پره مناسب، به روش آزمایشگاهی و عددی در حالت استاتیکی بررسی شده است. حل عددی با فرض جریان تراکم ناپذیر دو بعدی ناپایا و سه بعدی پایا انجام شده است. برای شبیه سازی جریان معادلات ناویر استوکس با استفاده از الگوی آشفتگی دو معادله‌ای انتقال تنش برشی کی-امگا حل شده است. این مدل، جریان کنار دیواره را با استفاده از حل مستقیم معادلات ناویر استوکس شبیه سازی می‌نماید. در روش آزمایشگاهی، نیروی پسا وارد بر پره اندازه‌گیری شده و با استفاده از مساحت پره، ضریب پسا محاسبه شده است. نتایج آزمایشگاهی و عددی با دقت نسبتاً خوبی بر هم منطبق است. همچنین با مقایسه ضریب پسا پره‌های مختلف، مشاهده می‌شود که پره مربعی نسبت به سایر پره‌ها با ضریب پسا برابر ^{۱/۱۸}، بیشترین ضریب پسا را دارد.

کلمات کلیدی: توربین بادی هانتر؛ انرژی‌های تجدید پذیر؛ دینامیک سیالات محاسباتی؛ تونل باد.

Experimental and Numerical Investigation of Blade Shape Effect on the Hunter Wind Turbines Efficiency

M. Nakhaee^{*}, P.Ghorbanianfard, M.Kahrom, M.Ayani

School of Mech. Eng., Mashhad Ferdowsi University, Mashhad, Iran.

Abstract

In the present study, the blade shape of a new kind of VAWT that has a different structure in comparison with other drag-based wind turbines, hunter turbine, is investigated and then optimized. The purpose of this study is designing a blade with the greatest drag coefficient in order to increase the power coefficient of the turbine. In this study 4 kinds of flat blades, including squared, circular, semi-circular and compound flat plates, have been investigated in static state experimentally and numerically. The numerically simulation has been carried out by assuming the incompressible, unsteady two-dimensional and steady three-dimensional flow. Flow simulation has been accomplished by discretizing and solving the Navier-Stokes equations with shear-stress transport (SST) $k-\omega$ turbulence model. This model simulates the near-wall flow by directly solving Navier-Stokes equations. In experimental method, the drag force is measured by a load-cell and the drag coefficient has been calculated by using the blade area. The results show a great agreement between the experimental and numerical data. It is concluded that the squared blade has the greatest drag coefficient among the considered cases, which is 1.18.

Keywords: Hunter Wind Turbine, Renewable Energy, Computational Fluid Dynamics (CFD), Wind Tunnel.

* محمد رضا نجعی تلفن: +۹۳۵۸۹۹۴۶۴۹

آدرس پست الکترونیک: Mohamadreza.nakhaee@stu.um.ac.ir

۱- مقدمه

قبيل پمپاژ آب نيز استفاده مي‌گردد. توربين‌های بادی سیستانی^۳ و سوانیوس^۴ از نوع پسايی می‌باشند.

مهم ترين عامل راندمان پايین توربين‌های پسايی، نيروي پساي وارد شده از طرف باد بر پره‌ها در نيم سيكل حرکت پره در جهت خلاف جريان باد می‌باشد. از اين رو حذف اين نيرو باعث افزایش راندمان توربين‌های پسايی می‌شود. در سال ۲۰۰۰ طرح جديد توربين پسايی توسط جان هانتر^۵ راهه گردید[۳]. اين توربين داراي پره‌های متحرک می‌باشد. اين پرها در نيم سيكل حرکت هم جهت با باد باز شده و در نيم سيكل حرکت در جهت مخالف جريان باد بسته می‌شود. در نتيجه نيرو پسا منفي وارد بر پره‌ها در نيم سيكل حرکت مخالف جريان باد از بین می‌رود.

تا کنون دو نوع توربين هانتر، استوانه‌ای و ديسکي شکل طراحی و رفتار جريان در اطراف آن مطالعه شده است. نوع استوانه‌ای اين توربين شامل يك درام استوانه‌ای شکل می‌باشد که پره‌های متحرک آن بر روی درام نصب شده است. بو يانگ و کريس لاون توربين استوانه‌ای شکل هانتر را به صورت عددی و آزميشگاهی شبيه سازي کرده و اثرات بعدی بودن جريان اطراف پره اين توربين را با مقايسه حل ۲بعدی و ۳بعدی مطالعه کردند[۴]. در شکل ۱ توربين هانتر استوانه‌ای نشان داده شده است. اين توربين برای جريان آب طراحی شده است. توربين هانتر ديسکي نوع ديگر اين توربين است. اين توربين در جريان باد با سرعت پايين بازده بهتری نسبت به توربين سوانیوس دارد. پره‌های توربين مذکور صفحات تخت می‌باشند که بر روی ديسک متصل می‌شوند و ديسک بر روی رتور نصب می‌گردد. پره می‌تواند بر روی ديسک باز و بسته شود. كهرم و رضايان[۵] رفتار اين توربين را به صورت آزميشگاهی و عددی بررسی کردن. در اين توربين از پره‌های نيم دايروي استفاده شده است (شکل ۲).

با توجه به پسايی بودن توربين هانتر، افزایش ضريب پسا پره توربين هانتر ديسکي با استفاده از تغيير هندسه پره در مساحت رو به باد ثابت، می‌توان ضريب گشتاور توربين را بهبود بخشد. برای اين منظور در مطالعه حاضر اثر شکل پره

با توجه به کاهش منابع سوخت‌های فسيلى، افزایش تقاضا در بازار انرژى و آلودگى محيط زیست در سال‌های اخير، منابع انرژى تجدید پذير مورد توجه قرار گرفته‌اند. انرژى تجدید پذير شامل انرژى خورشید، زمين‌گرمایي، زیست‌توده و باد می‌باشند. در میان اين منابع انرژى باد جايگزين ارزان و مناسب برای انرژى فسيلى است، از اين رو برای توسعه تكنولوجى استفاده از انرژى باد تحقیقات زيادي انجام شده است. بهره‌برداری از انرژى باد در دهه اخير به سرعت رشد نموده است[۱].

به طور کلي توربين‌های بادی به دو دسته محور عمودی و محور افقی تقسيم بندی می‌شوند. يكی از تمایزهای قابل توجه عملکرد توربين‌های محور عمودی و محور افقی، کارابی آنها در سرعت باد متفاوت می‌باشد. توربين‌های محور افقی در سرعت باد بالا، عملکرد مناسبی دارند و از اين رو در دهه گذشته تحقیقات گستره‌های بر روی اين توربين‌ها انجام شده است. با وجود اينکه راندمان ايده‌آل توربين‌های محور قائم بيش از ۷۰ درصد می‌باشد[۲] که اين بيشتر از راندمان ايده‌آل توربين‌های محور افقی است، اما توربين‌های محور قائم ساخته شده در مقايسه با توربين‌های محور افقی راندمان کمتری دارند. توربين‌های محور قائم و پژگی های خاصی دارند که توجه محققین را به خود جلب کرده است. از پژگی‌های بارز اين توربين‌ها می‌توان به کارابی آن‌ها در باد با سرعت کم، خود راهانداز بودن، مستقل بودن از جهت باد، نصب ژنراتور بر روی زمين و ايجاد آلودگى صوتی و بصری کمتر در مقايسه با توربين‌های محور افقی اشاره کرد.

توربين‌های محور قائم به دو دسته براي^۱ و پسايی^۲ تقسيم بندی می‌شوند. ضريب توان اين توربين‌ها تحت تاثير دو پaramتر مهم نسبت سرعت نوك پره و ضريب گشتاور توربين می‌باشد. پaramتر تاثيرگذار در توربين‌های پسايی ضريب گشتاور بالاي آنها در مقايسه با توربين‌های براي می‌باشد[۲]. اين سامانه با توجه به گشتاور توليدی مناسب علاوه بر توليد برق در مناطق دور از شبکه، برای مصارف مختلفی از

³ Sistan Wind Turbine

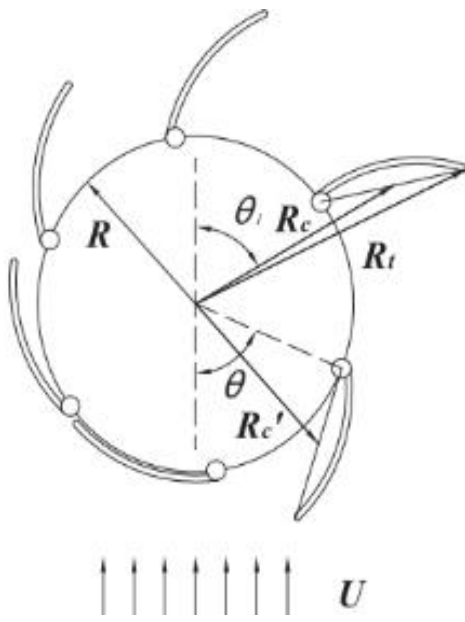
⁴ Savonius Wind Turbine

⁵ Hunter

¹ Lift Driven

² Drag Driven

در سیال، حل ۳ بعدی جواب دقیق‌تر را ارائه می‌کند. همچنین برای شبیه سازی جریان آشفته از الگوی توربولانسی آشفتگی دو معادله‌ای انتقال تنش برشی^۱ کی-امگا استفاده شده است.



شکل ۱- توربین استوانه‌ای هانتر [۳]



شکل ۲- توربین دیسکی هانتر (نمونه آزمایشگاهی) [۵]

توربین هانتر دیسکی بر ضربی پسا آن، در حالت استاتیک به روش آزمایشگاهی و عددی بررسی شده است.

تا کنون مطالعات زیادی بر روی رفتار جریان اطراف اجسام شناور در سیال^۱ انجام شده است. اکثر مطالعات انجام شده به منظور کاهش ضربی پسا وسایل نقلیه و تاثیر گردابه‌های ایجاد شده در پشت اجسام بر ضربی پسا آن می‌باشد. همچنین جنبه دیگر مطالعه این پدیده مربوط به بررسی اثر حرکت بال ریز پرنده‌های بال زن در نیم سیکل محرک می‌باشد.

نجار و بلاچاندار در سال ۱۹۹۸ اثر جدایش گردابه بر ضربی پسا صفحه تخت عمود بر جریان را مورد بررسی قرار داند [۶]. نجار و ونکا در سال ۱۹۹۵ شبیه سازی عددی جریان حول صفحه تخت عمود بر جریان را انجام دادند [۷]. مولر در سال ۱۹۷۱ اثر ۲ بعدی و ۳ بعدی بودن جریان اطراف اجسام شناور در جریان را بررسی کرده است. متاو و همکاران در سال ۲۰۰۷ اثر گردابه‌های نوک بال بر ضربی پسا آن به منظور طراحی ریز پرنده‌ها مطالعه کرد [۸]. لیسوسکی و همکاران اثر زاویه حمله صفحه عمود بر جریان بر ضربی پسا آن را مطالعه کرد [۹]. پژوهش‌های انجام شده در این زمینه به منظور مطالعه رفتار جریان سیال اطراف وسایل نقلیه و در نتیجه کاهش نیرو واردۀ از طرف سیال بر اجسام می‌باشد.

در مطالعه حاضر رفتار جریان اطراف پره به منظور افزایش ضربی پسا آن بررسی شده است. افزایش ضربی پسا پره می‌تواند افزایش برداشت انرژی از جریان سیال را در توربین‌های پسایی در پی داشته باشد. با توجه به این نکته که توربین هانتر دیسکی در مراحل اولیه طراحی می‌باشد مطالعات کافی برای طراحی این توربین صورت نپذیرفته است. هدف مطالعه حاضر طراحی پره مناسب برای توربین پسایی هانتر دیسکی می‌باشد. مطالعات انجام شده به منظور کاهش زمان و هزینه به صورت استاتیک انجام شده است.

۲- معادلات حاکم

در مطالعه حاضر معادلات ناویر استوکس در جریان ۲ بعدی ناپایا و ۳ بعدی پایا به صورت تراکم ناپذیر حل شده است. با توجه به ۳ بعدی بودن ماهیت جریان در اطراف اجسام شناور

² Shear Stress Transport (SST)

^۱ Bluff body

پس از تعیین میدان سرعت و فشار با استفاده از مقدار فشار اعمال شده بر روی پره و با استفاده از معادلات (۵) و (۶) به ترتیب ضریب فشار و ضریب پسا محاسبه می‌گردد. که به ترتیب به صورت زیر تعریف می‌گردد.

$$C_p = \frac{p - p_0}{1/2 \rho u^2} \quad (5)$$

$$C_d = \frac{F}{1/2 \rho u^2 A} \quad (6)$$

۳- شبکه‌بندی و شرایط مرزی

در این مطالعه ۴ پره با هندسه مربع، دایره، نیم‌دایره و ترکیب نیم‌دایره مستطیل با قطر هیدرولیک برابر با ۱۰ سانتی‌متر، مورد بررسی قرار گرفته است. برای مقایسه بهتر نتایج آزمایشگاهی با نتایج عددی، ابعاد حوزه حل برابر با ابعاد توپل باد مورد استفاده در آزمایشگاه در نظر گرفته شده است. ابعاد حوزه حل $300 \times 70 \times 70$ سانتی‌متر می‌باشد. در شکل ۳ هندسه پره‌های بررسی شده نشان داده شده است. لازم به ذکر است پره در مرکز سطح مقطع 70×70 سانتی‌متری کانال در فاصله 50 سانتی‌متر از ورودی قرار گرفته و فاصله آن از انتهای حوزه حل 250 سانتی‌متر می‌باشد. برای شبکه بندی حوزه حل همان طور که در شکل ۴ نشان داده شده است از شبکه بندی ساختار یافته استفاده شده است.

با توجه به اینکه پیش بینی نسبتاً دقیق لایه مرزی در کنار دیوار دامنه حل، به شبکه بندی ریزی در کنار دیوار دامنه‌ی حل نیاز می‌باشد که منجر به افزایش شدید تعداد شبکه و زمان حل در شبیه‌سازی ۳ بعدی می‌گردد. در نتیجه برای کاهش تعداد گره و زمان حل و همچنین شبیه سازی شرایط نسبتاً مشابه با شرایط آزمایشگاهی شرط مرزی دیوار بدون لغزش به منظور عدم تشکیل لایه مرزی بر روی دیواره-ی ناحیه حل برای سطوح محدود کننده این ناحیه انتجاب شده است. شرط مرزی پره، دیوار بدون لغزش^۱ انتخاب شده است. شرط مرزی ورودی جریان سرعت ورودی^۲ و شرط مرزی خروج در انتهای حوزه حل فشار خروجی^۳ در نظر گرفته شده است. در شکل ۵ نمای کلی حوزه حل همراه با شرایط مرزی نشان داده شده است.

معادلات بر اساس روش حجم محدود در نرم‌افزار تجاری انسیس فلوئنت ۱۵ حل شده‌اند. عبارات جابجایی، نفوذ بر اساس طرح^۴ مرتبه دوم اختلاف مرکزی^۵ و دستگاه معادلات خطی با حلگر ماتریسی اجرا شده است. در نهایت مجموع معادلات گسسته شده توسط الگوریتم سیمپل کوپل شده است. معادله (۱)، معادله پیوستگی و معادله (۲)، معادله مومنتوم در جریان تراکم ناپذیر می‌باشد.

$$\nabla \cdot u = 0 \quad (1)$$

$$\frac{\partial u}{\partial t} + (u \cdot \nabla) u = -\nabla p + \frac{1}{Re} \nabla^2 u \quad (2)$$

در روش متوسط رینولزی ناپایدار ناویر-استوکس^۳ برای حل جریان آشفته، دو مولفه u و u' برای سرعت در نظر گرفته می‌شود، که به ترتیب کمیت‌های سرعت متوسط و سرعت نوسانی می‌باشد. مقدار سرعت نوسانی با استفاده از ویسکوژیته توربولانسی محاسبه می‌شود. برای محاسبه لزجت آشفتگی باید مقادیر انرژی توربولانسی k ، و نرخ اتلاف ویژه انرژی توربولانسی^۶، محاسبه شود. در الگوی آشفتگی دو معادله‌ای انتقال تنش برشی کی-امگا از معادله انتقال (۳) برای محاسبه انرژی توربولانسی و از معادله انتقال (۴) برای محاسبه نرخ اتلاف ویژه انرژی توربولانسی استفاده می‌شود[۶].

$$\frac{\partial}{\partial t} (\rho k) + \frac{\partial}{\partial x_i} (\rho k u_i) = \frac{\partial}{\partial x_j} \left(\Gamma_k \frac{\partial k}{\partial x_j} \right) + G_k - Y_k + S_k \quad (3)$$

$$\frac{\partial}{\partial t} (\rho \omega) + \frac{\partial}{\partial x_j} (\rho \omega u_j) = \frac{\partial}{\partial x_j} \left(\Gamma_\omega \frac{\partial \omega}{\partial x_j} \right) + G_\omega - Y_\omega + D_\omega + S_\omega \quad (4)$$

در معادلات (۳) و (۴)، عبارت‌های G_k و G_ω به ترتیب نشان دهنده میزان تولید انرژی توربولانسی و نسبت اتلاف ویژه انرژی می‌باشد. عبارت‌های Γ_k و Γ_ω به ترتیب نشان دهنده نفوذ موثر انرژی توربولانسی و نسبت اضمحلال می‌باشند. عبارت‌های Y_k و Y_ω به ترتیب نشان دهنده اتلاف انرژی توربولانسی و نسبت اضمحلال می‌باشد. D_ω عبارت نفوذ متقابل^۷ می‌باشد و عبارت‌های S_k و S_ω کمیت‌های چشممه^۸ تعریف شده توسط کاربر می‌باشد[۶].

¹ Scheme

² Central Differencing Scheme

³ Unsteady Reynolds Average Navier-Stokes(URANS)

⁴ Cross Diffusion term

⁵ Source term

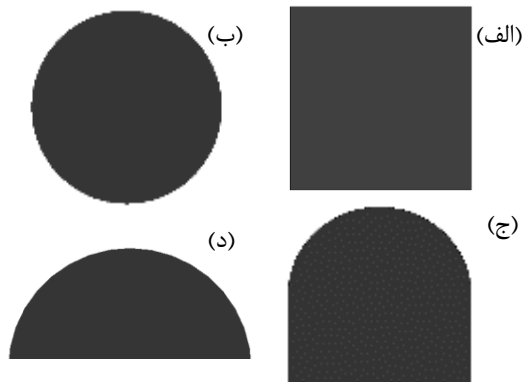
۴- بستر آزمایشگاهی

برای اندازه گیری ضریب پسا پره‌ها، ^۴ پره مطابق پره‌های موجود در شکل ۳، از جنس پلکسی ساخته شد و با استفاده از پایه‌هایی از جنس فیبر کربن بر روی نیروسنجه ^۳ بعدی مدل MC15-3A ساخت شرکت داسل نصب گردید. شایان ذکر است برای رعایت نسبت انسداد در مقطع آزمایش در تونل باد، نیروسنجه در خارج از محل فوق قرار گرفته است.

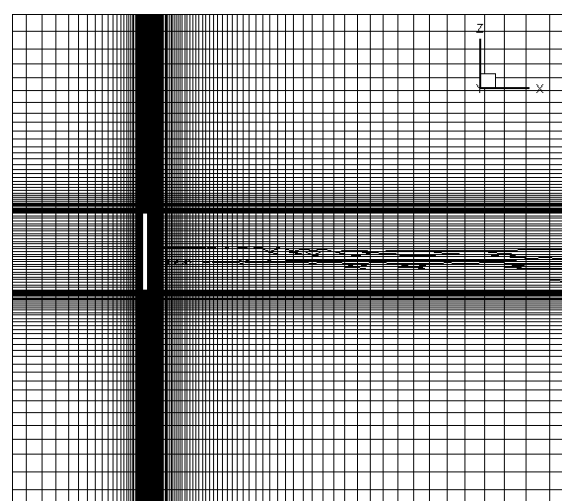
در شکل ۶ بستر آزمایشگاهی تونل باد به همراه وسایل اندازه گیری نشان داده شده است. همان‌طور که در این شکل مشاهده می‌شود، سیگنال ارسال شده از نیرو سنجه به وسیله آداپتور افزایینده تقویت شده و سپس به کارت دک^۱ ارسال می‌شود. در ادامه کارت دک داده‌های قابل پردازش برای رایانه را از طریق پورت کام در اختیار رایانه قرار می‌دهد. داده‌های اندازه گیری شده توسط نرم‌افزار متلب^۲ پردازش شده و سپس قابل مشاهده می‌باشد. در این مطالعه برای اندازه گیری ضریب پسا پره به صورت آزمایشگاهی، نیروی پسا وارد از طرف جریان باد با سرعت ۱۰ متر بر ثانیه، به وسیله نیروسنجه^۳ بعدی با دقیقه ۱/۰ میلی نیوتون، اندازه گیری شده و با استفاده از معادله (۶) ضریب پسا محاسبه می‌شود. سرعت باد با استفاده از بادسنجه پره‌های (آنمومتر) با دقیقه ۰/۱ متر بر ثانیه اندازه گیری شده است.

۵- نتایج

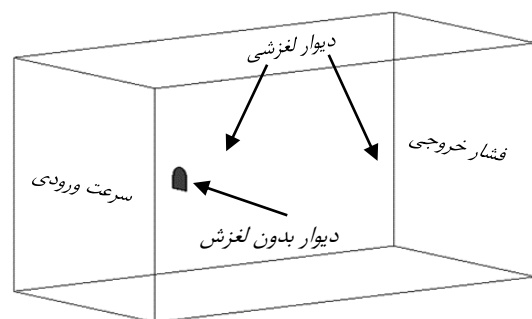
بطور کلی پارامترهای طراحی توربین‌های بادی شامل بررسی بازده توربین، محاسبه نیروهای آیروдинامیک وارد بر پره‌ها و مشاهده و تحلیل رفتار جریان اطراف توربین و پره‌های آن می‌باشد^[۲]. با توجه به این نکته که در پژوهش حاضر تحلیل جریان در حالت استاتیک انجام شده است، امکان بررسی بازده توربین وجود ندارد. لذا در ادامه نیروهای آیرودينامیک وارد بر پره به روش آزمایشگاهی اندازه گیری شده و برای بررسی و تحلیل رفتار جریان اطراف پره شبیه سازی عددی انجام شده است. برای بررسی نیروهای آیرودينامیکی و تحلیل بهتر این نیروها از اعداد بی بعد: ضریب پسا و ضریب فشار که در معادلات (۵) و (۶) تعریف شده‌اند، استفاده شده است.



شکل ۳- هندسه پره‌های تخت با قطر هیدرولیک یکسان (برابر ۱۰ سانتیمتر) (الف) مربع، (ب) دایره، (ج) ترکیب نیم‌دایره مستطیل و (د) نیم‌دایره



شکل ۴- شبکه‌بندی حوزه حل



شکل ۵- حوزه حل و شرایط مرزی

¹ DAQ

² MATLAB

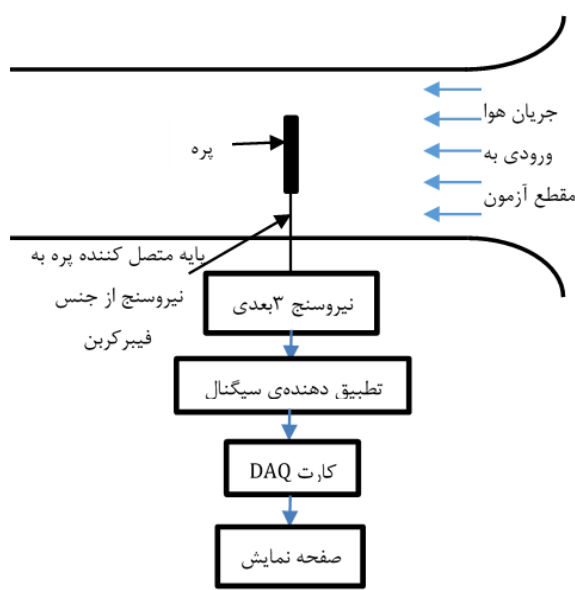
نهایی اندازه گیری شده و مقدار آن از نیرو وارد بر مجموعه پره و پایه کم شده است. در شکل ۷ پره دایروی نصب شده برروی نیروسنجد در داخل توول باد نشان داده است.

در جدول ۱ نتایج آزمایشگاهی گزارش شده و با نتایج حل عددی و مقادیر ارائه شده در کتاب دینامیک سیلات ام‌وایت [۸] و کتاب پسا دینامیکی هترنر [۹] مقایسه شده است. همچنان در جدول ۲ نتایج آزمایشگاهی همراه با عدم-قطعیت ارائه شده و مشاهده می‌گردد نتایج عددی تطابق خیلی خوبی با نتایج آزمایشگاهی دارند. با توجه به نتایج بدست آمده در مطالعه حاضر و مقایسه ضریب پسا پره‌های مختلف مشاهده می‌شود پره تخت مربعی بیشترین ضریب پسا را در مقایسه با سایر پره‌های تخت دارا می‌باشد.

۲-۵- شبیه‌سازی ۲ بعدی

برای رعایت نسبت انسداد در جریان ۲ بعدی، طول و عرض حوزه حل بهترتبی، ۲۱ و ۳۰ برابر قطر هیدرولیک پره در نظر گرفته شده است. پره در فاصله ۵ برابر قطر هیدرولیک از ورودی قرار گرفته است. برای بررسی استقلال حل از تعداد شبکه، چهار شبکه‌یندی با تعداد ۲۹۰۰۰، ۴۳۰۰۰، ۶۵۰۰۰ و ۹۸۰۰۰ گره بررسی شده است. نتایج حاصل از شبکه سوم و چهارم تقریباً بر هم منطبق بوده لذا شبکه مناسب با تعداد ۶۵۰۰۰ گره برای بررسی حالت‌های مختلف در نظر گرفته شده است. در مطالعه حاضر، ضرایب زیرتخفیف برای معادلات فشار، منتم، انرژی جنبشی توربولانسی و نسبت اتلاف ویژه بهترتبی برابر $0/0.3$ ، $0/0.7$ ، $0/0.8$ و $0/0.8$ در نظر گرفته شده است.

مقدار گامزمانی برابر با ۳ درصد نسبت قطر هیدرولیکی پره بر سرعت جریان آزاد در نظر گرفته شده است [۱۰]، که برابر با $0/0.003$ ثانیه می‌باشد. برای بررسی استقلال حل از گامزمانی محاسبه شده، مقادیر $0/0.0015$ و $0/0.0005$ ثانیه نیز بر روی یک شبکه معین بررسی شده که نتایج با دقت قابل قبولی بر هم منطبق بوده است. حل جریان تراکم ناپذیر، ۲ بعدی و ناپایا به خوبی قادر به پیش‌بینی تشکیل و جدایش گردابه‌ها در پشت پره می‌باشد. اما با توجه به اینکه جریان اطراف پره‌ها ۳ بعدی می‌باشد، حل ۲ بعدی ضریب پسا را با دقت مناسب، محاسبه نمی‌کند.



شکل ۶- بستر آزمایشگاهی

۱-۵- نتایج آزمایشگاهی

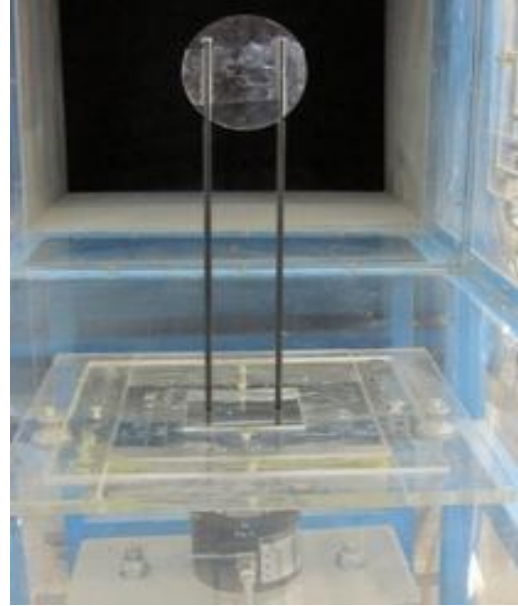
برای اندازه گیری ضریب پسای پره، روش‌های مختلفی از قبیل اندازه گیری سرعت اطراف پره با استفاده از سیم داغ، اندازه گیری فشار سطح پره با استفاده از مانومتر و اندازه گیری مستقیم نیرو وارد بر پره با استفاده از نیرو سنج وجود دارد. با توجه به اختشاشات شدید جریان در اطراف پره اندازه گیری سرعت در اطراف پره کاری سخت و همراه با خطا می‌باشد. لیسووسکی [۷] که از نتایج وی در اعتبار سنجی حل عددی استفاده شده است با استفاده از اندازه گیری سرعت، ضریب فشار در سطح پره را محاسبه کرد و پس از آن ضریب پسا را به دست آورده است. استفاده از مانومتر برای اندازه گیری فشار نیز، به دلیل اتلافات فشار همراه با خطا می‌باشد. در مطالعه حاضر برای اندازه گیری ضریب پسا متوسط، نیرو اعمالی بر پره به طور مستقیم اندازه گیری شده است که با توجه به دقت بالا نیروسنجد شده در آزمایشات، نتایج بدست آمده در مطالعه حاضر دقت بیشتری نسبت به دو روش اول دارد. لازم به ذکر است برای محاسبه دقیق ضریب پسا نیروی وارد از طرف باد بر پایه‌های نگهدارنده پره به

^۱ Hot Wire

مشاهده می‌شود در مرکز اولین گردابه پشت پره کمترین مقدار ضریب فشار بوجود آمده است که نشان دهنده آشفتگی زیاد و سرعت بالا جریان در منطقه گردابه‌ای می‌باشد. همان‌طور که می‌دانیم با صرف نظر از اتفاق ناشی از لزجت سیال، انرژی توده سیال همواره ثابت بوده و می‌تواند به شکل فشار، سرعت و ورتیسیته ظاهر شود. همچنین در این شکل مشاهد می‌شود که با دور شدن گردابه‌ها از پشت پره، شدت چرخشی بودن توده سیال و آشفتگی شدید جریان به تدریج کاهش پیدا کرده و فشار آن افزایش می‌یابد. در شکل ۱۰ ضریب فشار محاسبه شده در سطح پره نشان داده شده است با بررسی این شکل مشاهده می‌شود، ضریب فشار در جلو پره برابر ۱ می‌باشد. در نقطه سکون تمام انرژی سیال به فشار تبدیل می‌شود و لذا ضریب فشار برابر ۱ در جلو پره تایید کننده دقیقت نتایج به دست آمده در حل عددی می‌باشد. همچنین با توجه به مقدار ضریب فشار در پشت پره، محل تشکیل گردابه در کمترین مقدار خود را دارد مشخص می‌باشد. لحظه ثبت داده در نقطه‌ای که ضریب فشار کمترین مقدار خود را دارد مشخص می‌باشد.

جدول ۱- مقایسه ضریب پسا

هوئنر	ام.وایت	نتایج آزمایشگاهی	حل عددی	
۱/۱۸	۱/۱۸	۱/۱۸۸۵۳	۱/۱۸	مربعی
-	۱/۱۷	۱/۱۷۳۱	۱/۱۷	دایروی
-	-	۱/۱۶۸۷	۱/۱۷۶	نیم دایره
-	-	۱/۱۴۹۸	۱/۱۶	ترکیبی



شکل ۷- پره دایروی نصب شده بر روی نیروسنج در داخل توونل باد

در شکل ۸ تغییرات ضریب پسا محاسبه شده با استفاده از حل ۲ بعدی ناپایا بر حسب زمان بی بعد نشان داده شده و با ضریب پسا محاسبه شده توسط نجار و بلاچاندار [۱۱] مقایسه شده است. به دلیل جدایش پیاپی گردابه‌ها از پشت پره نمودار ضریب پسا دارای نوسانات پیاپی می‌باشد، برای مقایسه بهتر ضریب پسا در این شکل از ضریب پسا محاسبه شده متوسط گیری شده است.

مقدار به دست آمده برای ضریب پسا در مطالعه حاضر و مقدار ارائه شده در مرجع [۱۱]، ۱۷ درصد اختلاف دارد. این اختلاف می‌تواند به دلیل تصحیح مدل توربولانسی در حل حاضر باشد. در شکل ۹ کانتور فشار گردابه‌های جاری شده در جریان در پشت پره نمایش داده شده است. در این شکل

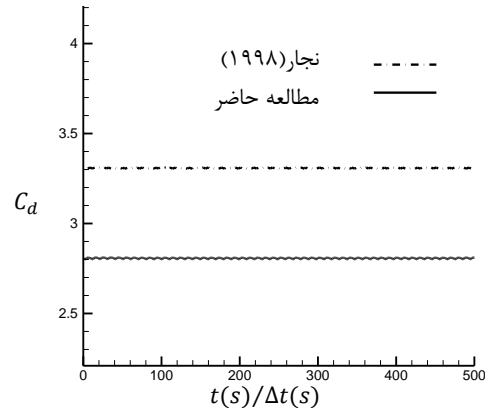
جدول ۲- نتایج آزمایشگاهی ضریب پسا برای پره‌های مختلف به همراه عدم قطعیت

هندرسون پره	مساحت پره (m^2)	نیرو (N)	ضریب پسا آزمایشگاهی	عدم قطعیت٪ ۹۵
مربع	۰/۰۱	۰/۷۲۶۱	۱/۱۸۸۵۳	±۰/۰۰۹۸
نیم دیسک	۰/۰۰۷۷	۰/۵۵۳۳	۱/۱۷۳۱	±۰/۰۱۰۴
دیسک	۰/۰۰۷۸۵	۰/۵۶۱۹	۱/۱۶۸۷	±۰/۰۰۷۸
ترکیبی	۰/۰۰۸۹	۰/۶۲۶۸	۱/۱۴۹۸	±۰/۰۰۶۹

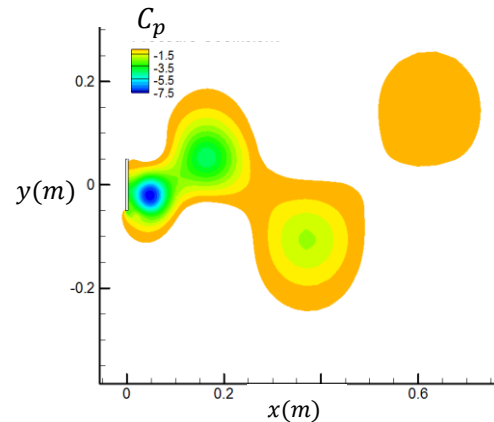
با توجه به این که اکثر پژوهش‌های عددی انجام شده در این زمینه به صورت ۲بعدی انجام شده است، شبیه سازی ۲ بعدی برای مقایسه بهتر شرایط جرایان در حالت ۲بعدی و ۳بعدی ارائه شده است. با مقایسه این دو حل می‌توان به اختلاف در مقدار ضریب پسا و نحوه جدایش گردابه‌ها اشاره کرد. اختلاف شرایط جدایش به دلیل وجود جریان‌های القایی در حل ۳بعدی بوده که در قسمت شبیه‌سازی ۳بعدی به آن بیشتر پرداخته خواهد شد.

۵-۳- شبیه‌سازی ۳بعدی

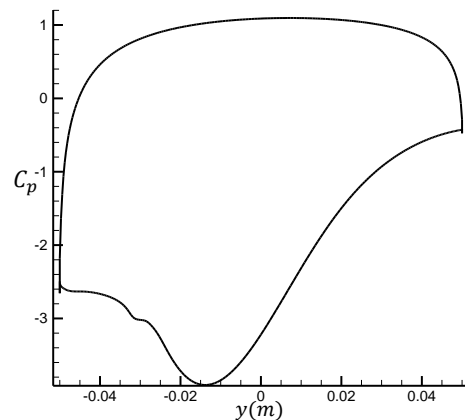
از آنجا که جریان حول پره توربین هانتر کاملاً ۳بعدی می‌باشد لذا برای بررسی عملکرد ۴پره با هندسه مریع، دایره، نیم‌دایره و پره ترکیبی، جریان تراکم‌ناپذیر پایا به صورت ۳بعدی شبیه سازی شده است. برای بررسی استقلال حل از تعداد شبکه، چهار شبکه‌یندی با تعداد ۵۰۰۰۰۰، ۸۰۰۰۰۰، ۱۲۰۰۰۰۰ و ۱۵۰۰۰۰۰ گره بررسی شده است. نتایج حاصل از شبکه سوم و چهارم تقریباً بر هم منطبق بوده لذا شبکه مناسب با تعداد ۱۲۰۰۰۰۰ گره برای بررسی حالت‌های مختلف در نظر گرفته شده است. در مطالعه حاضر، ضرایب زیرتخیف برای معادلات فشار، ممنتوم، انرژی جنبشی توربولنسی و نسبت اتلاف ویژه به ترتیب برابر $0/3$ ، $0/7$ ، $0/8$ و $0/8$ در نظر گرفته شده است. در شکل ۱۱ تغییرات ضریب فشار محاسبه شده در مرکز پره مربعی در راستای ارتفاع رسم شده و با نتایج عددی انجام شده توسط فگ و ژوهانسن [۱۲] و نجار و بلاچاندار [۱۱] و مطالعات آزمایشگاهی لیسوسک [۷] مقایسه شده است. در شکل ۱۱ مشاهده می‌شود ضریب فشار جلو پره در تمام موارد برابر ۱ گزارش شده است. همانطور که قبلاً اشاره شد ضریب فشار نسبت هد فشار استاتیکی به کل انرژی سیال می‌باشد. در نقطه سکون تمام انرژی سیال به فشار تبدیل می‌شود، لذا این نسبت برابر یک می‌باشد. اما نکته قابل تأمل در این شکل اختلاف ضریب فشار به دست آمده در پشت پره است. این اختلاف بیانگر شرایط پیچیده و شدیداً آشفته جریان در پشت پره می‌باشد. اختلاف نتایج حل حاضر و مقادیر ارائه شده در مراجع [۱۲، ۱۱] به دلیل بهبود روند حل و تصحیح معادلات توربولنسی در پژوهش حاضر می‌باشد. اختلاف با نتایج تجربی لیسوسکی نیز، به این دلیل می‌باشد که وی برای اندازه گیری ضریب فشار پشت پره ابتدا



شکل ۸- مقایسه ضریب پسا حل ۲بعدی بر حسب زمان بی- بعد با مرجع [۱۱]

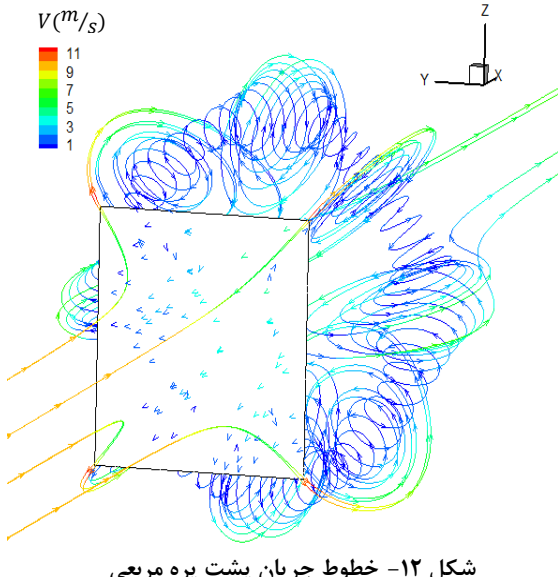


شکل ۹- کانتور ضریب فشار، گردابه‌های جداده شده از پشت پره



شکل ۱۰- ضریب فشار بر روی سطح پره، حل ۲بعدی

ترکیبی که کمترین ضریب پسا را دارد مقایسه شده است. مشاهده می‌شود فشار در پشت پره ترکیبی بیشتر از فشار پشت پره مربعی بوده که این مهم ضریب پسا پره ترکیبی را در مقایسه با پره مربعی کاهش داده است. با توجه به این نکته که در مرکز پره نقطه سکون با بیشینه فشار ایجاد می‌شود، و با حرکت به سمت لبه پره به تدریج فشار کاهش می‌یابد، لذا سرعت ذره سیال بر روی سطح پره بر اثر گرادیان فشار منفی، افزایش می‌یابد. حال آنکه با گرد کردن لبه پره ذره سیال فرصت کمتری برای افزایش سرعت داشته و با سرعت کمتری وارد ناحیه گردابه‌ای پشت پره می‌گردد، لذا با گرد شدن لبه پره سرعت دوران گردابه‌ها کاهش پیدا کرده و در نتیجه فشار ناحیه گردابه‌ای پشت پره ترکیبی در مقایسه با فشار پشت پره مربعی بیشتر می‌باشد. در جدول ۳ ضرایب پسا محاسبه شده در حل جریان پایا برای پره‌های مختلف گزارش شده است. با مقایسه ضریب پسا پره‌های مختلف مشاهده می‌گردد پره مربعی بیشترین ضریب پسا را دارد.

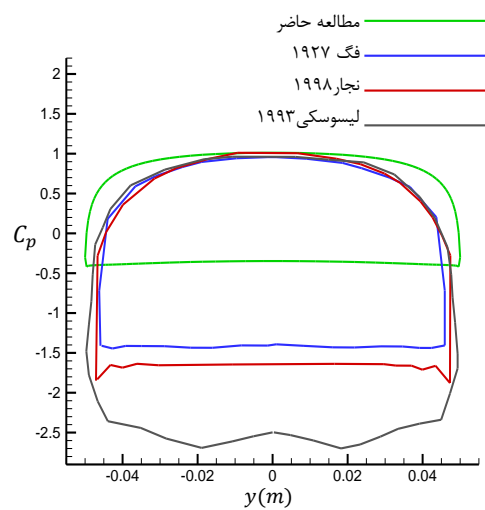


جدول ۳- ضریب پسا محاسبه توسط حل عددی

شکل پره	مربع	نیم دیسک	دیسک	ترکیبی	نخعی و همکاران
۱/۱۶	۱/۱۸	۱/۱۷۶	۱/۱۷	۱/۱۶	۳۳۷

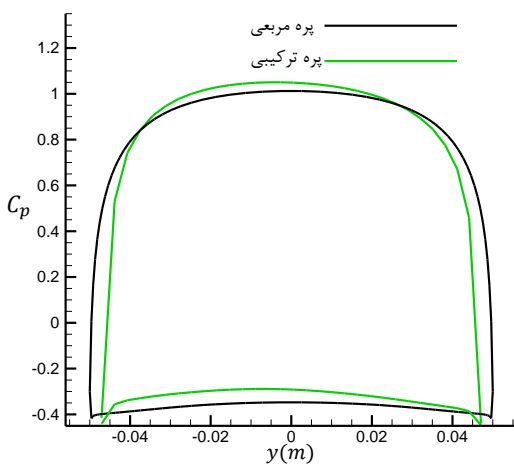
سرعت را اندازه‌گیری کرده است. در ادامه نشان داده خواهد شد جریان در پشت پره شدیداً آشفته بوده و به دلیل وجود گردابه‌های مارپیچی اندازه‌گیری سرعت در پشت پره همراه با خطای باشد. در مطالعه حاضر برای درستی حل به نتایج آزمایشگاهی استناد شده است که ضریب پسا متوسط به دست آمده از حل عددی و نتایج آزمایشگاهی برای پره مربعی تقریباً با هم برابر بوده و مقدار آن برابر $1/18$ به دست آمده است.

در شکل ۱۲ خطوط جریان و گردابه‌های تشکیل شده در پشت پره مشاهده می‌شود. گردابه‌های تشکیل شده در پشت پره مارپیچی بوده و لذا پسا القایی بر نیروی پسا اثر گذار می‌باشد.

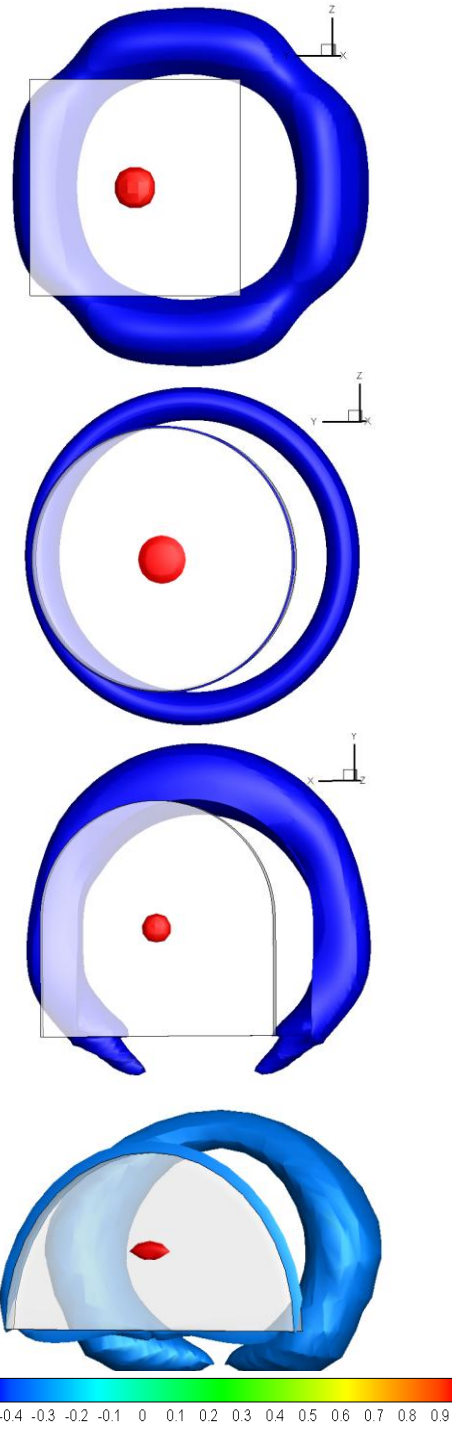


شکل ۱۱- ضریب فشار بر روی خط تقارن پره مربعی در راستای ارتفاع پره

برای بررسی اثر شکل پره بر ضریب پسای آن در شکل ۱۳ سطح فشار بیشینه در نقطه سکون و سطح فشار کمینه در مرکز گردابه‌های تشکیل شده در پشت پره برای ۴ پره مورد بررسی در این مطالعه نشان داده شده است. در این شکل مشاهده می‌شود، لبه‌های تیز پره باعث انفعال در ساختار گردابه‌های مارپیچی شده و در نتیجه بر پسا القایی اثر می‌گذارد. همچنین شکل پره بر سرعت چرخش گردابه‌ها اثر گذار بوده و در نتیجه در اثر تغییر شکل پره، فشار پشت پره تحت تاثیر قرار می‌گیرد. در شکل ۱۴ ضریب فشار پره مربعی که بیشترین ضریب پسا را دارد با ضریب فشار پره



شکل ۱۴- مقایسه ضریب پسا بر روی خط تقارن پرهای مربعی و ترکیبی



شکل ۱۳- کانتور ۳ بعدی ضریب فشار بر روی پرهای تخت (الف) مربع، (ب) دایره، (ج) ترکیب نیم دایره مستطیل و (د) نیم دایره

در مطالعه حاضر اثر هندسه پره تخت توربین هانتر دیسکی بر ضریب پسای آن به صورت آزمایشگاهی و عددی در حالت استاتیک مورد بررسی قرار گرفته است. نتایج آزمایشگاهی در مطالعه حاضر به روش اندازه‌گیری مستقیم نیروی وارد بر پره از طرف جریان باد به وسیله نیروسنج انجام شده است. اندازه-گیری مستقیم نیرو روشی جدید بوده و در مقایسه با روش-های اندازه‌گیری سرعت در ناحیه جداپاش در پشت پره و اندازه‌گیری فشار سطح پره برای محاسبه ضریب پسا از دقت بالاتر برخوردار می‌باشد. نتایج حاصل از آزمایشات نشان می-دهد پره مربعی دارای بیشترین ضریب پسا در مقایسه با سایر پرهای بررسی شده در این مطالعه می‌باشد. بنابراین در میان پرهای تخت بررسی شده پره تخت مربعی شکل، پره بهینه برای استفاده در توربین هانتر دیسکی شکل می‌باشد.

با مقایسه نتایج عددی و آزمایشگاهی مشاهده می‌شود ضریب پسا آزمایشگاهی با دقت قابل قبولی بر ضریب پسا محاسبه شده در شبیه‌سازی ۳ بعدی منطبق بوده است و این مقادیر با ضریب پسا به دست آمده از شبیه‌سازی ۲ بعدی اختلاف قابل ملاحظه‌ای دارند. از این روند نتیجه می‌شود رفتار جریان اطراف پره توربین هانتر کاملاً ۳ بعدی بوده و شبیه سازی ۲ بعدی بدون در نظر گرفتن اثرات ۳ بعدی بودن جریان قادر به پیش‌بینی دقیق ضریب پسا پره نمی‌باشد.

- [3] Yang B, Lawn C (2011) Fluid dynamic performance of a vertical axis turbine for tidal currents. *Renew Energ* 33:55-3366.
- [4] Yang B, Lawn C (2013) Three-dimensional effects on the performance of a vertical axis tidal turbine. *Ocean Eng* 58:1-10.
- [۵] کهرم م، رضاییان س (۲۰۱۳) عملکرد توربین بادی هانتر دیسکی شکل. سومین همایش ملی سوخت، انرژی و محیط زیست.
- [6] Menter FR (2009) Review of the shear-stress transport turbulence model experience from an industrial perspective. *Osmania J Social Sci* 23(4): 305-316.
- [7] Chua K, Lisoski D, Leonard A, Roshko A (1990) A numerical and experimental investigation of separated flow past an oscillating flat plate. in *Nonsteady Fluid Dynamics* 455-464.
- [8] White FM (1999) *Fluid mechanics*. WCB.
- [9] Hoerner SF (1965) Fluid-dynamic drag: practical information on aerodynamic drag and hydrodynamic resistance. Sighard F. Hoerner.
- [10] Egorov Y, Menter FR, Lechner R, Cokljat D (2010) The scale-adaptive simulation method for unsteady turbulent flow predictions. part 2: application to complex flows. *Flow Turbul Combust* 85(1):139-165.
- [11] Najjar FM, Balachandar S (1998) Low-frequency unsteadiness in the wake of a normal flat plate. *J Fluid Mech* 370:101-147.
- [12] Fage A, Johansen FC (1927) On the flow of air behind an inclined flat plate of infinite span. *P Roy Soc Lond A Mat* 116(773): 170-197.

۷- علایم و نشانه‌ها

ضریب پسا	C_d
ضریب فشار	C_p
نفوذ متقابل	D
نیرو پسا (N)	F
عبارت تولید انرژی	G
($\text{kgm}^{-1}\text{s}^{-2}$) فشار	P
($\text{kgm}^{-1}\text{s}^{-2}$) فشار گیج	P_0
عدد رینولدز	Re
(ms^{-1}) سرعت	u_j
عبارت چشمeh	S
اتلاف	Y
نفوذ متقابل	D
(kgm^{-3}) چگالی	ρ
($\text{kgm}^{-1}\text{s}^{-1}$) لزجت دینامیکی	μ
نفوذ موثر	Γ

۸- مراجع

- [۱] عرب گلارچه ع، مقیمان م، جوادی م (۲۰۱۵) بررسی عوامل مؤثر بر راندمان توربین محور عمودی داریوس به روش آبودینامیکی. *مجله مهندسی مکانیک مدرس* ۹۹(۹).
- [2] Bhutta MMA, Hayat N, Farooq AU, Ali Z, Jamil SR, Hussain Z (2012) Vertical axis wind turbine – A review of various configurations and design techniques. *Renew Sust Energ Rev* 16(4).